山の後流に位置する橋梁模型に作用する変動圧力と水平応答特性の検討

九州工業大学大学院 学生会員 小川洋史 原田英輔 九州工業大学 正会員 木村吉郎 久保喜延 加藤九州男

1.はじめに 山等の局所地形周辺に構造物を建設する場合,一様な境界層乱流中での応答特性では説明できない程大きなガスト応答が風によって生じることがあるため¹⁾,地形の影響を十分に考慮した耐風性の検討が必要である.著者らは,そうした大きな応答の発生メカニズムの解明を目的とした一連の研究を行ってきたが²⁾,本報では山の後流に位置する橋梁に作用する変動圧力特性と水平応答との関係の検討結果を示す.

2.実験概要 実験は,縮尺が多々羅大橋のケースの 1/1333 となる,底面の直径D=135cm,高さH=30cm の円錐形の山模型(D/H=4.5)を風洞内に設置して,その後流に橋梁模型を底面から高さ 3.7cmの位置に設置した状態で行った²⁾.橋梁模型は1辺の長さ 2.0cm,スパン 30cmの正方形角柱,固有振動数は 9.8Hzの片持ち梁模型を用いた.座標は,山の底面の中心を原点とし,流れ主流方向をx軸,水平方向

左岸向きにy軸をとって示す.山の後流中では,既往の研究において大きな水平応答が生じた,(x,y)=(100,-10) ,(120,-10)cmの位置に橋梁模型の自由端を設置し,流れ直角方向からの水平偏角 を $0^\circ,40^\circ$ (自由端は風上側かつx軸側)とした 4 ケースを測定した.また,境界層乱流中でも水平偏角 が $0^\circ,40^\circ$ について測定した.橋梁模型の圧力測定点位置を図 1に示す.境界層外の風洞風速 6.0cm/sにおいて測定し,サンプリ

に示す.境界層外の風洞風速 6.0m/sにおいて測定 ング周波数 1000Hz, 測定時間は 10 分間とした. 3.結果および考察

3.1 POD解析 模型に作用する変動圧力分布の特性把握のために、POD解析を実施した.(条件付き)サンプリング後とは、標準偏差の2.5 倍以上の大きな応答が発生した時刻を基準として前後0.15secの応答および変動圧力を抽出し、得られたデータをアンサンブル平均したデータをPOD解析したもので、大きな応答を生じさせる平均的な変動圧力パターンに対応するものと考えられる.山の後流中及び境界層乱流中での1~5次モードの寄与率を表1,2に示す.条件付きサンプリング後では、全てのケースにおいて、変動圧力の1次モードの寄与率は大きく支配的となっている.従って、1次モードの圧力変動パターンが橋梁模型に大きな応答を生じさせると考えられる.この1次モードのモード形(図2(a))は、風上面と風下面で圧力の符号が正負逆になり、模型全体に比較的一様な圧力が作用

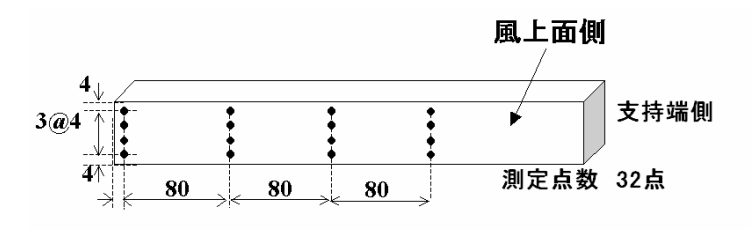
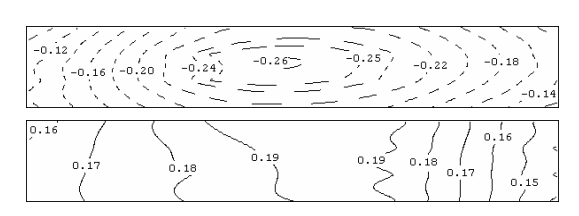


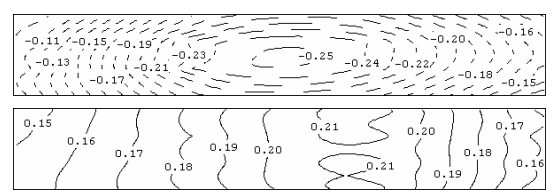
図1 圧力測定橋梁模型(単位 mm)

表1 POD 解析の各モード寄与率 (山の後流中, x = 100cm)

モード	サンブリングなし		サンブリング 後	
	ß=0°	ß = 40°	β=0°	β=40°
1	40.4	46.1	67.4	80.8
2	18.7	14.7	16.6	12.2
3	12.5	10.5	10.8	2.6
4	8.0	5.6	1.6	0.9
5	4.6	4.7	0.8	0.8



(a) 条件付きサンプリング後



(b) 条件付きサンプリングなし
図2 POD 解析による 1 次モード形
(山の後流中, x = 100cm, = 40°
上:風上面,下:風下面,左側:自由端)

キーワード;山の後流,ガスト応答,POD解析,条件付サンプリング,風洞実験

連絡先; 〒804-8550 北九州市戸畑区仙水町 1-1 Tel.(093)884-3100 Fax.(093)884-3100

するモードパターンである.山の後流中では,条件付きサンプリングなしの場合でも1次モードの圧力パターンはほとんど変わらない(図2(b)).つまり,山の後流中ではこうした変動圧力パターンが頻繁に作用するため,橋梁模型の応答が大きくなるものと考えられる.一方境界層乱流中では,このような変動圧力パターンはサンプリングなしでは存在せず,大きな応答が生じる際には,複数の変動圧力のモードパターンが組み合わさることによって,このような大きな応答を生じさせるパターンを形成するものと考えられる.これが,境界層乱流中の応答が相対的に小さい理由と考えられる.

3.2 相互相関 図3,4は,POD解析で得られた変動圧力の モード座標時刻歴と水平応答時刻歴との相互相関を求めたもの であり,相互相関係数の正負はPOD解析によって得られた固有 モードの正負に応じたものである.

山の後流中のx=100 cm, =40°のケースで,モード座標時刻歴と水平応答時刻歴との相互相関を求めたところ,1次モードは時間差 0=6 msecで相互相関係数の最小値 0.832をとるのに対し,2次モード以上では相互相関係数の絶対値は最大でも0.26以下と小さい.すなわち水平応答と1次モードとの相互相関は,他のモードに比べて極めて高くなっている(図3).すなわちこの結果も,1次モードの圧力変動パターンの作用が応答を効率的に生じさせることを示すものとも考えられる.しかし,1次モードの 0の値が,固有周期の6%程度と,変動圧力が作用してから応答の最大値が生じるものとすると小さ過ぎるため,さらに検討が必要である.

境界層乱流中の水平偏角 = 40°の場合では,1次モードは 0=0 msecで相互相関係数の最大値が0.618,3次モードは 0= 1 msecで相互相関係数の最小値が 0.526,その他のモードは相互相関係数の絶対値は最大でも0.09以下と小さい.すなわち1次と3次の影響が大きい(図4).条件付きサンプリングなしの場合,1次のモード形は風上面で自由端に向かって圧力が増加し(図5),風下面では自由端に向かって圧力が増加し(図5),風下面では模型全体に一様な負の圧力が作用し(図6),風下面では模型中央下端部を中心とする正の圧力が一様に作用するモード形であった.境界層乱流中の水平偏角 = 40°では,1次と3次の変動圧力モードが組み合わさることによって図7(サンプリング後)のようなモード形を形成し,応答を効率的に生じさせるものと考えられる.

[参考文献]

1)秋山他:多々羅大橋の大型風洞試験(第2報),本四技報,vol.21, pp.30-36,1997

2)木村他:第18回風工学シンポジウム論文集,pp443-448,2004

表2 POD 解析の各モード寄与率 (境界層乱流中)

モード	サンブリングなし		サンブリング後	
	β=0°	β=40°	β=0°	β=40°
1	16.7	22.7	58.2	76.9
2	13.7	16.8	9.2	7.4
3	12.6	12.9	8.3	3.1
4	11.8	10.1	6.6	2.8
5	10.3	8.2	4.6	2.2

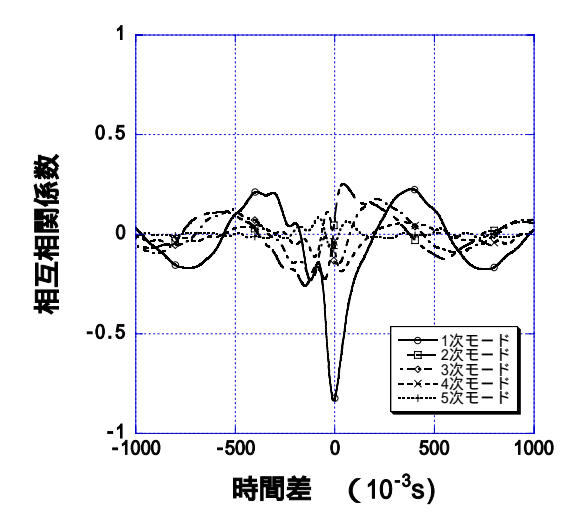


図3 モード時刻歴と応答時刻歴の相互相関 (x=100cm, =40°,山あり)

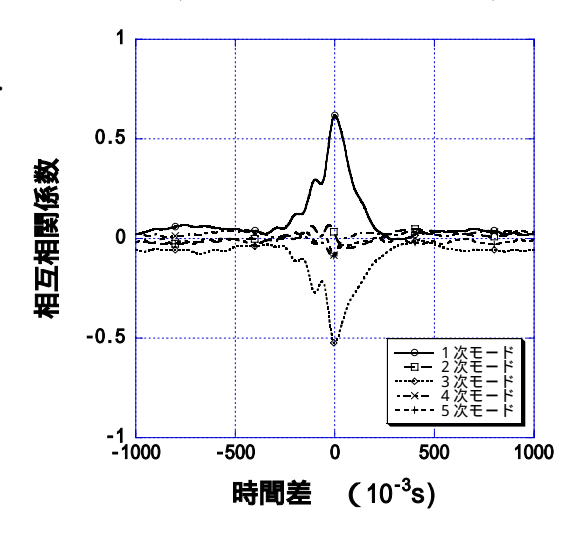


図4 モード時刻歴と応答時刻歴の相互相関 (=40°,境界層乱流中)



図5 境界層乱流中の1次モード(風上面,前)



図6 境界層乱流中の3次モード(風上面,前)



図7 境界層乱流中の1次モード(風上面,後)